

**ВЛИЯНИЕ МЕРИДИОНАЛЬНЫХ УСИЛИЙ  
НА СОБСТВЕННЫЕ КОЛЕБАНИЯ  
И ДИНАМИЧЕСКУЮ УСТОЙЧИВОСТЬ ОБОЛОЧКИ ВРАЩЕНИЯ,  
БЛИЗКОЙ ПО ФОРМЕ К ЦИЛИНДРИЧЕСКОЙ**

Исследуется влияние меридиональных усилий (как сжимающих, так и растягивающих), приложенных к краям оболочки вращения, близкой к цилиндрической, на форму волнообразования, величину наименьших собственных частот и динамическую устойчивость. Рассматриваются оболочки средней длины, у которых форма образующей срединной поверхности описывается параболической функцией. На основании теории пологих оболочек получено разрешающее уравнение колебаний соответствующей предварительно напряженной оболочки. Приведенное уравнение отличается от известного [1] дополнительным членом, который может иметь такой же порядок, как и другие учтенные члены. Рассмотрены оболочки как положительной, так и отрицательной гауссовой кривизны. Предполагалось, что края оболочки свободно оперты. Приведены в безразмерной форме формулы и универсальные кривые зависимости наименьшей частоты, формы волнообразования и границ областей динамической неустойчивости от предварительного напряжения и амплитуды отклонения оболочки от цилиндра. Показано, что при наличии предварительных напряжений, отклонение оболочки от цилиндрической формы (порядка толщины) могут существенно изменить низшие частоты, форму волнообразования и границы областей динамической неустойчивости.

1. Рассматривается оболочка, у которой срединная поверхность образована вращением квадратной параболы вокруг оси  $z$ , прямоугольной системы координат  $x, y, z$  с началом в середине отрезка оси вращения (фиг. 1). Предполагается, что радиус  $R$  поперечного сечения срединной поверхности оболочки определяется равенством

$$R = \tau + \delta_0 [1 - \xi^2 (\tau/l)^2]$$

где  $\tau$  – радиус торцевого сечения;  $\delta_0$  – максимальное отклонение (при  $\delta_0 > 0$  оболочка выпуклая, при  $\delta_0 < 0$  – вогнутая);  $L = 2l$  – длина оболочки;  $\xi = z/l$ . Рассматриваются оболочки средней длины [2] и считается, что

$$(\delta_0/\tau)^2, (\delta_0/l)^2 \ll 1 \tag{1.1}$$

За основные уравнения колебаний принимались уравнения теории пологих оболочек [3]. Для рассматриваемых оболочек средней длины формы колебаний, соответствующие низшим частотам, сопровождаются слабовыраженным волнообразованием в продольном направлении в сравнении с окружным, поэтому справедливо соотношение

$$\frac{\partial^2 f}{\partial \xi^2} \ll \frac{\partial^2 f}{\partial \varphi^2} \quad (f = w, \psi) \tag{1.2}$$

где  $w, \psi$  – соответственно функции радиального перемещения и напряжения. В результате система уравнений для рассматриваемых оболочек приводится к следующему уравнению

$$\varepsilon \frac{\partial^8 w}{\partial \varphi^8} + \frac{\partial^4 w}{\partial \xi^4} + 4\delta \frac{\partial^4 w}{\partial \xi^2 \partial \varphi^2} + 4\delta^2 \frac{\partial^4 w}{\partial \varphi^4} - t_1^0 \frac{\partial^6 w}{\partial \xi^2 \partial \varphi^4} - t_2^0 \frac{\partial^6 w}{\partial \varphi^6} + \frac{\rho \tau^2}{E} \frac{\partial^2}{\partial t^2} \left( \frac{\partial^4 w}{\partial \varphi^4} \right) = 0 \quad (1.3)$$

$$\varepsilon = \frac{h^2}{12\tau^2(1-\nu^2)}, \quad \delta = \delta_0 \tau / l^2, \quad t_i^0 = T_i^0 / Eh \quad (i = 1, 2)$$

где  $E, \nu$  – модуль упругости и коэффициент Пуассона,  $h$  – толщина оболочки,  $\varphi$  – угловая координата,  $T_1^0, T_2^0$  – меридиальное и окружное усилия исходного состояния,  $t$  – время,  $\rho$  – плотность. Дополнительным членом в этом уравнении, в сравнении с уравнением приведенном в [1] является четвертый член, который в силу неравенств (1.2) будет одного порядка с третьим членом этого уравнения.

Рассматривается свободно опертая оболочка, к краям которой приложены равномерно распределенные меридиональные усилия  $P_1$ . Исходное состояние предполагается безмоментным. На основании соответствующего решения и неравенств (1.1), (1.2) получаем следующие приближенные выражения

$$T_1^0 = P_1 \left[ 1 + \frac{\delta_0}{\tau} (\xi^2 (\tau/l)^2 - 1) \right], \quad T_2^0 = -2P_1 \delta_0 \tau / l^2 \quad (1.4)$$

Учитывая, что

$$\left| \xi^2 (\tau/l)^2 - 1 \right| \frac{\partial^2 w}{\partial \xi^2} \ll 2 \left( \frac{\tau}{l} \right)^2 \frac{\partial^2 w}{\partial \varphi^2} \quad (1.5)$$

получаем, что уравнение (1.3) принимает вид

$$\varepsilon \frac{\partial^8 w}{\partial \varphi^8} + \frac{\partial^4 w}{\partial \xi^4} + 4\delta \frac{\partial^4 w}{\partial \xi^2 \partial \varphi^2} + 4\delta^2 \frac{\partial^4 w}{\partial \varphi^4} + p \frac{\partial^6 w}{\partial \xi^2 \partial \varphi^4} - 2p\delta \frac{\partial^6 w}{\partial \varphi^6} + \frac{\rho \tau^2}{E} \frac{\partial^2}{\partial t^2} \left( \frac{\partial^4 w}{\partial \varphi^4} \right) = 0 \quad (1.6)$$

$$p = -P_1 / (Eh)$$

Первоначально рассмотрим случай  $P_1 = \text{const}$ . Принятым граничным условиям удовлетворяет выражение

$$w = A \cos \lambda_m \xi \sin n \varphi \sin \omega t, \quad \lambda_m = m\pi\tau/L \quad (m = 2i + 1, i = 0, 1, 2, \dots) \quad (1.7)$$

Подставляя выражение (1.7) в уравнение (1.6), получаем следующее равенство для определения собственных частот

$$\omega^2 = \frac{E}{\rho \tau^2} [\varepsilon n^4 + \lambda_m^4 n^{-4} + 4\delta \lambda_m^2 n^{-2} + 4\delta^2 - p(\lambda_m^2 - 2\delta n^2)] \quad (1.8)$$

Видно, что при  $p = 0$  и  $\delta > 0$  наименьшей частоте соответствует значение  $m = 1$ . Можно также показать, что это условие имеет место и при  $\delta < 0$ , учитывая неравенство (1.1), а также что  $\omega^2 > 0$ . Поэтому первоначально будем рассматривать формы колебаний, при которых по длине оболочки располагается одна полуволна ( $m = 1$ ), а в окружном направлении  $n$  волн. При сжатии  $p > 0$ , а при растяжении  $p < 0$ .

Представим выражение (1.8) (при  $m = 1$ ) в безразмерном виде, для этого введем безразмерные величины  $N, P$  и некоторые обозначения

$$N = n^2/n_0^2, \quad P = p/p_{0*}, \quad \delta_* = \delta\varepsilon_*^{-1/2}, \quad \varepsilon_* = (1 - v^2)^{-1/2} \frac{h(\tau)}{\tau} \left(\frac{\tau}{L}\right)^2 \quad (1.9)$$

$$n_0^2 = \lambda_1 \varepsilon^{-1/4}, \quad \lambda_1 = \pi\tau/l, \quad p_{0*} = \frac{(1 - v^2)^{-1/2} h}{\sqrt{3} \tau}, \quad \omega_*^2 = 2\lambda_1^2 \varepsilon^{1/2} \frac{E}{\rho\tau^2}$$

где  $\omega_*$ ,  $P_{0*}$  – соответственно наименьшая частота и критическая нагрузка цилиндрической оболочки средней длины [2], [5]. В результате равенство (1.8) можно записать в следующей безразмерной форме:

$$\omega^2(N)/\omega_*^2 = 0.5[N^2 + N^{-2} + 2.37\delta_* N^{-1} + 1.404\delta_*^2 - 2P(1 - 1.185\delta_* N)] \quad (1.10)$$

Наименьшая частота (при  $\omega^2(N) > 0$ ) определяется из условия  $\omega^2(N)^1 = 0$ . В результате получаем

$$-1.185\delta_* P = N - 1.185\delta_* N^{-2} - N^{-3} \quad (1.11)$$

или

$$N^4 + 1.185\delta_* P N^3 - 1.185\delta_* N - 1 = 0 \quad (1.12)$$

Отсюда при  $P = 0$  получаем известное уравнение

$$N^4 - 1.185\delta_* N - 1 = 0 \quad (1.13)$$

корни, которого в явном виде получены в [6]. Кроме того из (1.12) при  $\delta_* = 0$  получаем уравнение  $N^4 - 1 = 0$  положительный корень которого  $N = 1$ . Следовательно, для цилиндрической оболочки средней длины наименьшая частота реализуется при  $N = 1$  независимо от  $P$ , что полностью согласуется с [7]. При  $\omega = 0$  из равенства (1.10) получаем

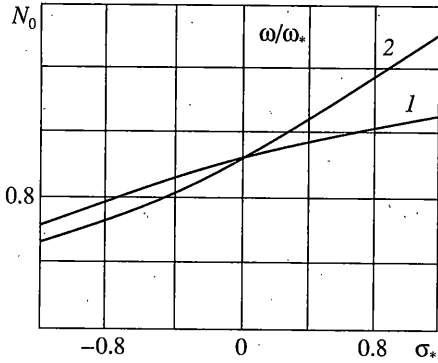
$$P = \frac{N^2 + N^{-2} + 2.37\delta_* N^{-1} + 1.404\delta_*^2}{2(1 - 1.185\delta_* N)} \quad (1.14)$$

Наименьшее значение  $P$ , как известно, называют критической нагрузкой. В частности, при  $\delta_* = 0$ ,  $N = 1$  из (1.14) получаем известную формулу критического сжимающего усилия для цилиндрической оболочки  $P = 1$  [2]. Наименьшее значение  $P$  в зависимости от  $N$  реализуется при  $P_N^1 = 0$ . Отсюда получаем

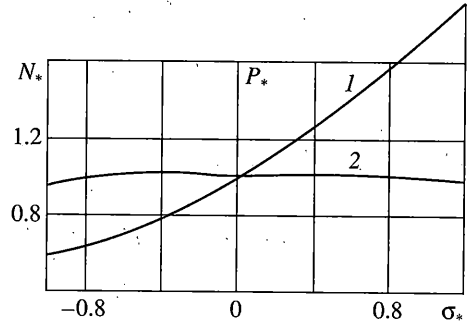
$$\begin{aligned} 2(N - N^{-3} - 1.185\delta_* N^{-2})(1 - 1.185\delta_* N) = \\ = -1.185\delta_* (N^2 + N^{-2} + 2.37\delta_* N^{-1} + 1.404\delta_*^2) \end{aligned} \quad (1.15)$$

Упрощенное уравнение (1.15) является уравнением пятой степени, корни которого в явном виде не представляется возможным получить. Поэтому предложен иной путь определения положительного корня этого уравнения. Обозначим положительный корень уравнения (1.15)  $N_*$ . Это значение  $N = N_*$ , соответствует числу волн в поперечном направлении, при котором реализуется критическая нагрузка потери устойчивости  $P_*$ . Подставляя равенство (1.15) в (1.14) получаем

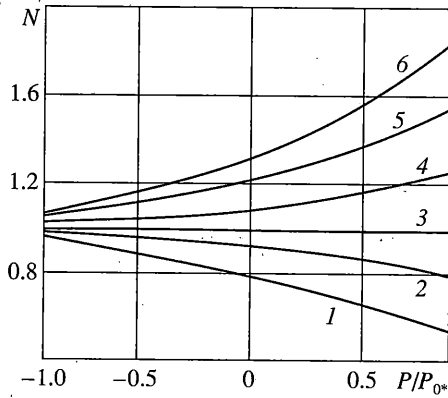
$$-1.185\delta_* P_* = N_* - 1.185\delta_* N_*^{-2} - N_*^{-3} \quad (1.16)$$



Фиг. 1



Фиг. 2



Фиг. 3

Нетрудно заметить, что из равенства (1.11) также следует равенство (1.16), когда  $\omega = 0$ . Следовательно, значения  $P, N$  удовлетворяющие равенству (1.11), при которых выражение (1.10) обращается в ноль являются критическими значениями  $P_*, N_*$ .

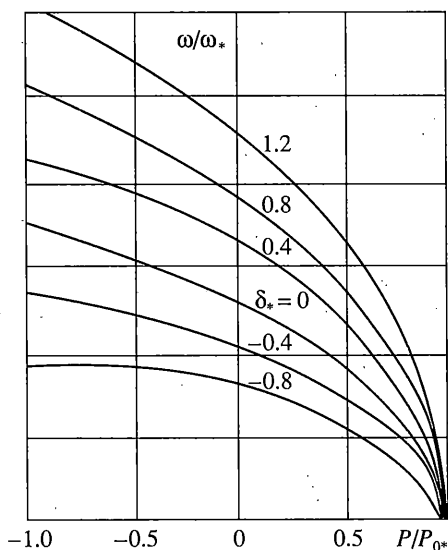
На основании равенства (1.12) при  $P = 0$ , получаем уравнение (1.13), положительный корень которого  $N = N_0$ , соответствует наименьшей частоте незагруженной оболочки [6], а при  $P = P_*$  уравнение (1.16), корень которого  $N = N_*$ , соответствует  $\omega = 0$ . Таким образом при изменении  $P$  в интервале

$$0 \leq P \leq P_* \tag{1.17}$$

Наименьшая частота изменяется в интервале  $\omega(N_0, P = 0) \geq \omega(N, P) \geq 0$ . На основании рассуждений аналогичных [5], можно показать, что при изменении  $P$  в интервале (1.17) для  $\delta_* \leq 0$ , значение  $N$ , реализующее наименьшую частоту  $\omega(N, P)$  находится в интервале

$$N_0 \leq N \leq N_* \tag{1.18}$$

Значение  $N_0$  и  $N_*$ , в зависимости от  $\delta_*$  представлены соответственно на фиг. 1, 2 (кривыми 1). В частности, при  $\delta_* = 0$  неравенства (1.17), (1.18) принимают вид,  $0 \leq P \leq 1$ ,  $N_0 = N_* = 1$ . На фиг. 1 приведен также график зависимости безразмерной частоты  $\omega(N_0)/\omega_*$  (кривая 2) от  $\delta_*$  см. [6]. Значения критической нагрузки  $P_*$  от  $\delta_* \leq 0$  приведе-



Фиг. 4

ны на фиг. 2 (кривая 2). Легко заметить, что для рассматриваемого интервала изменения  $\delta_*$  величина критической нагрузки существенно изменяется.

На основании равенства (1.11) нетрудно построить кривые  $N(P)$ , реализующие минимальную частоту, для различных значений  $\delta_*$ . Для этого фиксируем  $\delta_*$  и задавая значением  $N$  из интервала (1.18), определяем соответствующее значение  $P$  по формуле (1.16).

На фиг. 3 приведены кривые  $N(P)$  для  $\delta_* = -0.8; -0.4; 0; 0.4; 0.8; 1.2$ . Приведенные кривые являются универсальными кривыми, справедливыми для любой оболочки средней длины, так как геометрические и физические параметры не фигурируют в соотношении (1.10). Согласно графиков, приведенных на фиг. 3 нетрудно заметить, что число окружных волн, при которых реализуется наименьшая частота предварительно сжатой оболочки, зависит как от безразмерной амплитуды  $\delta_*$ , так и от величины безразмерного напряжения  $P$ . На основании этих кривых и выражения (1.10) легко определить  $N$  и соответствующую минимальную частоту при заданных  $\delta_*$  и  $P$ .

На фиг. 4 приведены графики изменения безразмерной наименьшей (при  $m = 1$ ) частоты в зависимости от безразмерного предварительного напряжения  $P$  для различных  $\delta_*$ , при этом по оси ординат отложено отношение  $\omega/\omega_*$  ( $\omega_*$  – наименьшая частота незатруженной цилиндрической оболочки, определяемая последним равенством (1.9)), а по оси абсцисс  $p/p_{0*}$  ( $p_{0*}$  – характеризует критическое сжимающее напряжение для цилиндрической оболочки средней длины и определяется предпоследним равенством (1.9)).

В случае растяжения  $P < 0$ . При этом равенства (1.10), (1.16) принимают вид

$$\omega^2/\omega_*^2 = 0.5[N^2 + N^{-2} + 2.37/\delta_* N^{-1} + 1.404\delta_*^2 + 2|P|(1 + 1.185\delta_* N)] \quad (1.19)$$

$$1.185\delta_* |P| = N - N^{-3} - 1.185\delta_* N^{-2} \quad (1.20)$$

Аналогично выше сказанному, на основании формул (1.19), (1.20) нетрудно построить соответствующие зависимости. На фиг. 3, 4 слева от оси ординат приведены зависимости  $\omega/\omega_*$  и  $N$  от растягивающего усилия при различных  $\delta_*$ .

Выясним при каких условиях справедливо неравенство  $n^2 \gg \lambda_1^2$ , используемое для выше изложенной теории. На фиг. 3 видно, что в наихудшем случае для  $\delta_* = -0.8$  при изменении сжимающей нагрузки  $P$  в интервале  $0 \leq P \leq P_*$  значение  $N$  находится в интервале  $0.735 \leq N \leq 0.774$ , тогда как для больших значений  $\delta_*$  границы интервала повышаются. Отсюда следует, что во всяком случае, при действии нагрузки, не превышающей величину сжимающей критической нагрузки для цилиндрической оболочки, справедливо условие  $n^2 \gg \lambda_1^2$  и следовательно, справедливы формулы (1.10), (1.11). Кроме того, нетрудно заметить, что для  $\delta_* = -0.8$  и растягивающей нагрузки  $P$  изменяющейся в интервале  $0 \leq P \leq 1.4$  значение  $N$  убывает по мере увеличения  $|P|$  и находится в интервале  $0.735 \geq N \geq 0.61$ . Следовательно, для растягивающей нагрузки в рассматриваемых интервалах, это неравенство так же справедливо. Выполнение этих условий, а также условия  $(\delta_0/t)^2 \ll 1$  гарантирует справедливость использования теории пологих оболочек и данного исследования.

Далее рассмотрим значения  $m > 1$ . Используя обозначения (1.9), формулу (1.8) можно представить в виде

$$\begin{aligned} \omega^2/\omega_*^2 &= 0.5[N^2 + m^4 N^{-2} + 2.37\delta_* m^2 N^{-1} + 1.404\delta_*^2 - 2P(m^2 - 1.185\delta_* N)] \\ m &= 2i + 1 \quad (i = 0, 1, 2, \dots) \end{aligned} \quad (1.21)$$

Введем величину

$$\theta = N/m \quad (1.22)$$

Тогда выражение (1.21) примет вид

$$\omega^2/\omega_*^2 = 0.5m^2[\theta^2 + \theta^{-2} + 2.37\delta_* \theta^{-1} m^{-1} + 1.404\delta_*^2 m^{-2} - 2P(1 - 1.185\delta_* \theta m^{-1})] \quad (1.23)$$

При  $\delta_* = 0$  формула (1.23) принимает вид

$$\omega^2/\omega_*^2 = 0.5m^2(\theta^2 + \theta^{-2} - 2P) \quad (1.24)$$

При  $\delta_* = 0$  получаем

$$P = 0.5(\theta^2 + \theta^{-2}) \quad (1.25)$$

Нетрудно видеть, что для любого  $m$  наименьшее значение выражения (1.25) реализуется при  $\theta = 1$  и критическое усилие сжатия  $P = 1$ .

Наименьшее значение выражения (1.24) в зависимости от  $\theta$  (при  $P < 1$ ) так же реализуется при  $\theta = 1$ , при этом выражение (1.24) принимает вид

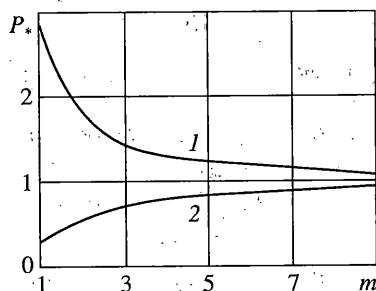
$$\omega^2/\omega_*^2 = m^2(1 - P)$$

Следовательно, наименьшее значение частоты (при  $P < 1$ ) реализуется при  $m = 1$ .

Рассмотрим теперь выражение для определения критической нагрузки при  $\delta_* \neq 0$ . В дальнейшем учитывая неравенства (1.1) ограничимся рассмотрением  $|\delta_*| \leq 1$ .

Соотношение (1.23) обращается в нуль, если

$$P = \frac{\theta^2 + \theta^{-2} + 2.37\delta_* \theta^{-1} m^{-1} + 1.404\delta_*^2 m^{-2}}{2(1 - 1.185\delta_* \theta m^{-1})} \quad (1.26)$$



Фиг. 5

Первоначально рассмотрим случай  $\delta_* < 0$ . Выражение (1.26) при  $\delta_* = -|\delta_*|$  принимает вид

$$P = \frac{\theta^2 + \theta^{-2} - |\delta_*| m^{-1} (2.37\theta^{-1} - 1.404|\delta_*| m^{-1})}{2(1 + 1.185|\delta_*|\theta m^{-1})} \quad (1.27)$$

Определим как изменяется  $P$  при изменении  $m$ . При увеличении  $m$  знаменатель выражения (1.27) уменьшается, что касается числителя, то (при  $\theta \leq 1, |\delta_*| \leq 1$ ) третий член  $|\delta_*| m^{-1} (2.37\theta^{-1} - 1.404|\delta_*| m^{-1})$  при увеличении  $m$  уменьшается, следовательно, числитель увеличивается. Отсюда следует, что выражение (1.27) в зависимости от  $m$  будет при  $m = 1$ . С другой стороны элементарный численный расчет так же показывает, что наименьшее значение  $P$  (при  $|\delta_*| \leq 1$ ) реализуется при  $m = 1$  и  $\theta \leq 1$ . В частности, значения  $\theta_{cr}$  в зависимости от  $\delta_*$  (при  $m = 1$ ) представлены на фиг. 2 кривой 1. На фиг. 5 приведены наименьшие значения  $P$  (в зависимости от  $\theta$ ) при фиксированных  $m$  (для  $\delta_* = -0.4$ ), кривая 2.

Рассмотрим теперь случай  $\delta_* > 0$ . При этом формула для определения критического усилия имеет вид (1.26). Нетрудно видеть, что при увеличении  $m$  числитель выражения (1.26) уменьшается, а знаменатель увеличивается. Следовательно, значение  $P$  уменьшается. Поэтому наименьшая критическая нагрузка, определяемая на основании выражения (1.26), будет достигаться при достаточно больших  $m$ , при этом членами отвечающими отклонению оболочки от цилиндрической формы можно пренебречь и соответствующая критическая нагрузка  $P_{cr}$  будет практически равна критической нагрузке сжатия для цилиндрической оболочки  $P_* \approx 1$  ( $\theta = 1$ ). Этот результат подтверждается в работе [8]. На фиг. 5 приведены наименьшие значения  $P$  (в зависимости от  $\theta$ ) при фиксированных  $m$  (для  $\delta_* = 0.4$ ), кривая 1. При  $\delta_* \rightarrow 0$ , обе кривые 1 и 2 сливаются с прямой  $P_* = 1$ .

Рассмотрим теперь выражение (1.22) и определим как оно зависит от  $m$ . Обозначим  $m = x^2$ . Запишем выражение производной  $\omega^2$  по  $x$ .

$$(\omega^2)'_x = 2\{x[0.5(\theta^2 + \theta^{-2}) - P] + 0.5925\delta_*(\theta^{-1} + P\theta)\} \quad (1.28)$$

Функция  $0.5(\theta^2 + \theta^{-2})$  имеет наименьшее значение при  $\theta = 1$  и равна единице, при этом второе слагаемое (при  $\delta_* > 0$ ) величина положительная. Следовательно при  $P \leq 1$  величина производной больше нуля, а это значит, что функция  $\omega^2$  монотонно возрастающая и имеет минимум при  $m = 1$ .

Наименьшее значение  $\omega^2$  по  $\theta$  (при фиксированном  $m$ ) определяется из условия

$$(\omega^2)'_\theta = m^2(\theta + \theta^{-3} - 1.185\delta_*\theta^{-2}m^{-1} + 1.185\delta_*Pm^{-1}) = 0 \quad (1.29)$$

Отсюда получаем

$$\theta^4 + b\theta^3 + d\theta + e = 0, \quad b = 1.185\bar{\delta}_*P, \quad d = -1.185\bar{\delta}_*, \quad e = -1, \quad \bar{\delta}_* = \delta_*m^{-1} \quad (1.30)$$

Корни уравнения (1.30) совпадают с корнями двух квадратных уравнений

$$\theta^2 + (b + B_{1,2})\theta + \left(y_1 + \frac{by_1 - d}{B_{1,2}}\right) = 0, \quad B_{1,2} = \pm \sqrt{8y_1 - b^2} \quad (1.31)$$

Корни уравнений (1.31) имеют вид

$$\theta_{1,2} = \frac{\sqrt{8y_1} + b}{4} \pm \sqrt{-\frac{by_1 - d}{\sqrt{8y_1}} + \frac{b\sqrt{8y_1} - 4y_2}{8}}, \quad y_1 = y_1 + \frac{b^2}{8} \quad (1.32)$$

$$\theta_{3,4} = \frac{\sqrt{8y_1} - b}{4} \pm \sqrt{-\frac{by_1 - d}{\sqrt{8y_1}} + \frac{b\sqrt{8y_1} + 4y_2}{8}}, \quad y_2 = y_1 - \frac{b^2}{4} \quad (1.33)$$

где  $y_1$  – какой-либо корень кубического уравнения

$$y^3 + 3py + 2q = 0, \quad 3p = \frac{bd - 4e}{4}, \quad 2q = \frac{b^2e + d}{8} \quad (1.34)$$

$$P = \frac{1}{3} \left( 1 - \frac{1.185^2 \bar{\delta}_*^2 P}{4} \right), \quad q = -\frac{1.185^2 \bar{\delta}_*^2 (1 - P^2)}{16} \quad (1.35)$$

В дальнейшем упростим выражение (1.35) для  $P$  предполагая, что

$$(1.185^2 \bar{\delta}_*^2 P)/4 \ll 1 \quad (|\bar{\delta}_*^2| \leq 0.5, P \leq 0.5) \quad (1.36)$$

Тогда  $P = 1/3$ ; при этом

$$D = p^3 + q^2 = \frac{1}{3^3} + \frac{1.185^4 \bar{\delta}_*^4 (1 - P^2)^2}{16^2} > 0 \quad (1.37)$$

Так как дискриминант этого уравнения  $D > 0$ , то уравнение имеет один действительный корень  $y_1 = (-q + \sqrt{D})^{1/3} + (-q - \sqrt{D})^{1/3}$ . Подставляя сюда значения  $q, D$  получаем

$$y_1 = \frac{1}{\sqrt{3}} \left[ \left( 0.456 \bar{\delta}_*^2 (1 - P^2) + \sqrt{1 + 0.208 \bar{\delta}_*^4 (1 - P^2)^2} \right)^{1/3} + \left( 0.456 \bar{\delta}_*^2 (1 - P^2) - \sqrt{1 + 0.208 \bar{\delta}_*^4 (1 - P^2)^2} \right)^{1/3} \right] \quad (1.38)$$

Если принять, что

$$0.208 \bar{\delta}_*^4 (1 - P^2)^2 \ll 1 \quad (1.39)$$

И разложить в ряды выражения входящие в (1.38) отбрасывая при этом величины второго порядка малости, то получим

$$y_1 \approx 0.1755 \bar{\delta}_*^2 (1 - P^2) \quad (1.40)$$



Отметим, что при выполнении условия (1.36), условие (1.39) также выполняется. Подставляя значения  $y_1$ ,  $b$  и  $d$  в (1.32), (1.33) и учитывая, что представляют интерес только положительные значения  $\theta$  (так как  $n^2 > 0$ ), при  $\bar{\delta}_* < 0$  ( $d > 0$ ) получаем, что положительным корнем является только корень  $\theta_1$  тогда как при  $\bar{\delta}_* > 0$  ( $d < 0$ ) – корень  $\theta_3$ . В результате получаем

$$\theta_1 = \sqrt{1 + 0.1755\bar{\delta}_*^2 P(1 - P^2) - 0.0877\bar{\delta}_*^2(1 + 2P - 3P^2) - 0.2962|\bar{\delta}_*|(1 - P)} \quad (\bar{\delta}_* < 0) \quad (1.41)$$

$$\theta_3 = \sqrt{1 + 0.1755\bar{\delta}_*^2 P(1 - P^2) - 0.0877\bar{\delta}_*^2(1 + 2P - 3P^2) + 0.2962\bar{\delta}_*(1 - P)} \quad (\bar{\delta}_* > 0) \quad (1.42)$$

При  $P = 0$  из этих неравенств получаем

$$\theta = \sqrt{1 - 0.0877\bar{\delta}_*^2/m^2 - 0.2962|\bar{\delta}_*|/m} \quad (\bar{\delta}_* < 0) \quad (1.43)$$

$$\theta = \sqrt{1 - 0.0877\bar{\delta}_*^2/m^2 + 0.2962\bar{\delta}_*/m} \quad (\bar{\delta}_* > 0) \quad (1.44)$$

При  $m = 1$  отсюда получаем известную формулу (см. [6]). При  $P = 1$  уравнение (1.30) принимает вид

$$\theta^4 + 1.185\frac{\bar{\delta}_*}{m}\theta^3 - 1.185\frac{\bar{\delta}_*}{m}\theta - 1 = 0$$

Отсюда имеем

$$(\theta^2 - 1)(\theta^2 + 1 - 1.185\bar{\delta}_*/m) = 0$$

Нетрудно видеть, что положительный корень этого уравнения  $\theta = 1$ . При  $P = 1$  из (1.41), (1.42) также получаем  $\theta = 1$ .

Сравним, в частности, для  $\bar{\delta}_* = 0.4$  наименьшее значение частоты при  $m = 1$ , когда  $P = 0$  и  $P = 1$ :

$$\omega(\bar{\delta}_* = 0.4, P = 0, m = 1, \theta = 1.148)/\omega_* = 1.2495$$

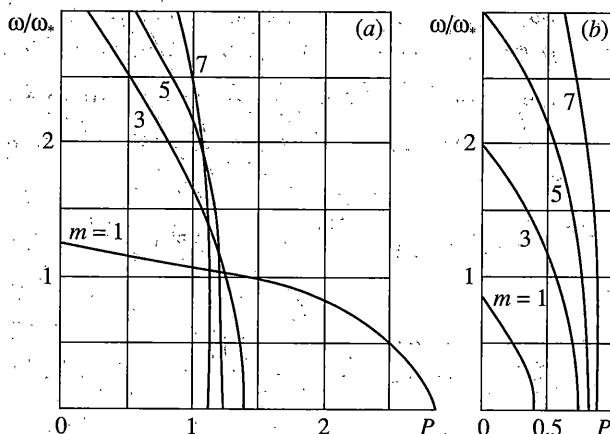
$$\omega(\bar{\delta}_* = 0.4, P = 1, m = 1, \theta = 1)/\omega_* = 1.0297$$

При достаточно больших  $m$  на основании формул (1.41), (1.42) получаем, что  $\theta \approx 1$ , а на основании формулы (1.23)  $\omega^2/\omega_*^2 \approx 0.5m^2(\theta^2 + \theta^{-2} - 2P)$ , т.е. формулу практически совпадающую с формулой (1.24) для цилиндрической оболочки.

Для выше рассмотренного случая  $\bar{\delta}_* = 0.4$  на фиг. 6, а приведены графики изменения наимизших частот в зависимости от  $P$  для различных  $m$  ( $m = 1, 3, 5, 7$ ). Нетрудно заметить, что наименьшая частота при  $P \leq 1$  реализуется при  $m = 1$ , тогда как при стремлении  $P$  к единице сверху, наименьшая частота реализуется по форме с достаточно большим  $m$ , соответствующей форме потери устойчивости.

Для  $\bar{\delta}_* < 0$ , выражение (1.23) принимает вид

$$\omega^2/\omega_*^2 = 0.5m^2[\theta^2 + \theta^{-2} - |\bar{\delta}_*|m^{-1}(2.37\theta^{-1} - 1.404|\bar{\delta}_*|m^{-1}) - 2P(1 + 1.185|\bar{\delta}_*|m^{-1})]$$



Фиг. 6

Учитывая, что с увеличением  $m$  последний и третий член этого выражения (при  $\theta \leq 1$ ,  $|\delta_*| \leq 1$ ) уменьшаются следует, что выражение в квадратных скобках увеличивается, кроме того увеличивается и множитель  $m^2$ . Следовательно, наименьшая частота при  $\delta_* < 0$  реализуется при  $m = 1$ . Это так же демонстрируется ниже приведенными расчетами.

На фиг. 6, *b* приведены графики изменения низших частот в зависимости от  $P$  для различных  $m$  при  $\delta_* = -0.4$ . Нетрудно видеть, что наименьшая частота реализуется при  $m = 1$ . Кроме того из приведенных на фиг. 6 *a, b* графиков легко заметить, что для  $\delta_* < 0$  по мере увеличения  $m$  основания кривых стремятся снизу к  $P = 1$ , тогда как для  $\delta_* > 0$  наоборот – сверху.

Отметим, что выше полученные результаты при  $m > 1$  имеют место при значениях  $\theta$  близких к единице ( $\theta \approx 1$ ), т.е. когда  $n^2 \approx \varepsilon^{-1/4} \lambda_m$ . Поэтому данные результаты справедливы только для достаточно тонких оболочек, когда  $\varepsilon^{-1/4} \gg \lambda_m$ , тогда имеет место соотношение  $n^2 \gg \lambda_m^2$  и данная теория справедлива. Из выше полученных качественных результатов (для  $\delta_* > 0$ ) следует, что формы колебаний с  $m > 1$  совпадающие с соответствующей формой потери устойчивости возникают при  $P > 1$ , причем чем больше  $m$ , тем соответствующая критическая нагрузка  $P_{cr}$  ближе к единице. При изменении  $P$  в интервале  $0 \leq P \leq 1$  наименьшей является частота с формой колебания, когда  $m = 1$ .

При  $\delta_* < 0$  формы колебаний с  $m > 1$  совпадающие с соответствующей формой потери устойчивости возникают при  $P$  больших  $P_{cr}$  ( $m = 1$ ). Форма колебаний, соответствующая наименьшей частоте, и форма потери устойчивости, соответствующая наименьшей критической нагрузке реализуется при  $m = 1$ .

2. Рассмотрим теперь случай, когда

$$P_1 = P_0 + P_1 \cos \Omega t \quad (2.1)$$

Будем искать решение уравнения (1.6) в форме

$$w = f_{mn}(t) \cos \lambda_m \xi \sin n \varphi \quad (2.2)$$

Подставляя приведенное решение в (1.6) и требуя, чтобы последнее удовлетворилось при любых  $\xi$  и  $\varphi$ , получаем

$$\frac{d^2 f_{mn}}{dt^2} + \frac{E}{\rho \tau^2} [\varepsilon n^4 + \lambda_m^4 n^{-4} + 4\delta \lambda_m^2 n^2 + 4\delta^2 - p_1(t)(\lambda_m^2 - 2\delta n^2)] f_{mn} = 0 \quad (2.3)$$

Частоты собственных колебаний оболочки (при  $P_1 = P_0$ ) определяются из уравнения (2.3), если положить  $f(t) = C \sin \omega t$  и выражаются формулой (1.8). Так как уравнение (2.3) идентично для всех форм колебаний, то индексы  $m, n$  можно опустить.

Введем аналогично выше сказанному, безразмерные величины (1.9), (1.22) и запишем уравнение (2.3) в виде

$$d^2 f/dt^2 + 0.5\omega_*^2 m^2 [\theta^2 + \theta^{-2} + 2.37\delta_* \theta^{-1} m^{-1} + 1.404\delta_*^2 m^{-2} - 2(P_0 + P_t \cos \Omega t)(1 - 1.185\delta_* \theta m^{-1})] f = 0 \quad (2.4)$$

$$P_0 = p_0/p_{0*}, \quad P_t = p_t/p_{0*}$$

Критическое значение усилия  $P$  в статическом случае ( $P_t = 0, f = \text{const}$ ) определяется из уравнения (2.4) и выражается формулой (1.26). Приведем уравнение (2.4) к стандартному виду уравнения Матве

$$d^2 f/dt^2 + \omega^2(\theta) [1 - 2\mu(\theta) \cos \Omega t] f = 0 \quad (2.5)$$

$$\omega^2(\theta) = \omega_0^2(\theta) (1 - P_0/P(\theta)), \quad (2.6)$$

$$\omega_0^2(\theta) = 0.5\omega_*^2 m^2 (\theta^2 + \theta^{-2} 2.37\delta_* \theta^{-1} m^{-1} + 1.404\delta_*^2 m^{-2})$$

$$\mu(\theta) = \frac{P_t}{2[P(\theta) - P_0]}, \quad \omega_*^2 = 2\lambda_1^2 \varepsilon^{1/2} E/\rho \tau^2 \quad (2.7)$$

$$P(\theta) = \frac{\theta^2 + \theta^{-2} 2.37\delta_* \theta^{-1} m^{-1} + 1.404\delta_*^2 m^{-2}}{2(1 - 1.185\delta_* \theta m^{-1})} \quad (2.8)$$

величина  $\mu$  – коэффициент возбуждения. Решение уравнения (2.5) исследовались в целом ряде работ, где отмечено, что при определенных соотношениях между  $\mu, \Omega, \omega$  и  $t \rightarrow \infty$  решение уравнения (2.6) будет неограниченно возрастать в областях неустойчивости. Обобщая результаты [10], на рассматриваемую оболочку, приведем ниже следующие формулы. Для выяснения расположения областей динамической неустойчивости, первоначально рассмотрим случай, когда  $P_t \rightarrow 0$  ( $\mu \rightarrow 0$ ).

При этом получаем, что эти области неустойчивости располагаются вблизи частот

$$\Omega_* = 2\omega(\theta)/k \quad (2.9)$$

В зависимости от числа  $k$  различают первую, вторую, третью и т.д. области динамической неустойчивости. Область неустойчивости ( $k=1$ ), лежащая вблизи  $\Omega_* = 2\omega(\theta)$  когда  $\omega(\theta)$  принимает наименьшее значение, является наиболее опасной и имеет поэтому наибольшее практическое значение. Эту область, называют главной областью динамической неустойчивости.

При  $P_t$  отличном от нуля, получаем следующую формулу для границ главной области неустойчивости

$$\Omega_* = 2\omega(\theta) \sqrt{1 \pm \mu(\theta)} \quad (2.10)$$

Если учитывать силы сопротивления пропорциональные первой производной от перемещения по времени (с коэффициентом затухания  $\epsilon$ ), то формула для определения границ главной области неустойчивости принимает вид

$$\Omega_* = 2\omega(\theta)\sqrt{1 \pm \sqrt{\mu^2(\theta) - (\Delta/\pi)^2}}, \quad \Delta = 2\pi\epsilon/\omega(\theta) \quad (2.11)$$

где отброшены члены, содержащие высшие степени  $\Delta/\pi$ , учитывая, что декремент затухания  $\Delta$  обычно весьма мал в сравнении с единицей. Значение выражений  $\omega(\theta)$ ,  $P(\theta)$ ,  $\mu(\theta)$  — определяются на основании формул (2.6), (2.7), (2.8), где  $m$  и  $\theta$  соответствуют наименьшему значению  $\omega(\theta)$ . При  $m = 1$  на основании формулы (1.22)  $\theta = N$ , соответствующие значения  $N$  и  $\omega(N)$  в зависимости от  $P_0$  и  $\delta_*$  представлены на фиг. 3, 4. Из (2.11) следует, что минимальное значение коэффициента возбуждения (критическое), при котором еще возможны незатухающие колебания, определяется равенством

$$\mu_{*1} = \Delta/\pi \quad (2.12)$$

Для границ второй области неустойчивости ( $k = 2$ ) имеет место формула

$$\Omega_* = \omega(\theta)\sqrt{1 + \mu^2(\theta) \pm \sqrt{\mu^4(\theta) - \left(\frac{\Delta}{\pi}\right)^2 [1 - \mu^2(\theta)]}} \quad (2.13)$$

В данном случае, критическое значение коэффициента возбуждения приближенно определяется равенством  $\mu_{*2}(\theta) = (\Delta/\pi)^{1/2}$ . Аналогичным образом обобщая результаты [10], можно привести формулы и для границ третьей области неустойчивости, которая практически редко реализуется.

На основании приведенных формул и графиков нетрудно определить интервалы изменения возбуждающих частот (в зависимости от  $\delta_*$ ,  $P_0$ ,  $P_t$ ) попадающих в области динамической неустойчивости. Так например, для  $\delta_* = 0.4$ ,  $P_0 = 0.3$ ,  $P_t = 0.05$ ,  $\Delta = 0.01$  получаем, что наименьшая частота реализуется при  $m = 1$ ,  $N = 1.08$ ;  $\omega(N) = 1.19$ ,  $P(N) = 3.202$ ,  $\mu(N) = 0.00863$ ,  $\mu_{*1} = 0.00318$ ,  $\mu_{*2} = 0.0564$ . Тогда на основании формулы (2.11) получаем, что значения  $\Omega$ , заключенные в интервале  $2.371\omega_* < \Omega < 2.390\omega_*$  находятся в главной области динамической неустойчивости. Так как  $\mu(N) < \mu_{*2}$  то вторая область неустойчивости не достижима.

В случае  $\delta = -0.4$  и тех же значениях внешней нагрузки наименьшая частота реализуется при  $m = 1$ ,  $N = 0.84$ ;  $\omega(N) = 0.28$ ,  $P(N) = 0.436$ ,  $\mu(N) = 0.1838$ . При этом на основании формулы (2.11) получаем, что в главную область неустойчивости попадают значения  $\Omega$  заключенные в интервале  $0.506\omega_* < \Omega < 0.609\omega_*$ . В данном случае вторая область неустойчивости также достижима, так как  $\mu(N) > \mu_{*2}$ . При этом на основании формулы (2.13) получаем, что во вторую область неустойчивости попадают значения  $\Omega$ , находящиеся в интервале  $0.280\omega_* < \Omega < 0.292\omega_*$ .

Приведенные формулы и графики позволяют достаточно просто определить области неустойчивости рассмотренных оболочек.

#### СПИСОК ЛИТЕРАТУРЫ

1. Даревский В.М. Устойчивость оболочки, близкой по форме к цилиндрической // Проблемы расчета пространственных конструкций. М.: МИСИ, 1980. С. 35–45.
2. Вольмир А.С. Устойчивость деформируемых систем. М.: Наука, 1967. 984 с.
3. Власов В.З. Общая теория оболочек и ее приложение в технике М; Л.: Гостехиздат, 1949. 784 с.
4. Товстик П.Е. Устойчивость тонких оболочек. Асимптотические методы. М.: Наука. Физматлит, 1995. 319 с.

5. Кукуджанов С.Н. О влиянии нормального давления на частоты собственных колебаний цилиндрических оболочек // Инж.ж. МТТ. 1968. № 3. С. 140–144.
6. Кукуджанов С.Н. О влиянии нормального давления на частоты собственных колебаний оболочек вращения, близких к цилиндрическим // Изв. РАН. МТТ. 1996. № 6. С. 121–126.
7. Никулин М.В. Влияние осевых усилий на частоты собственных колебаний цилиндрической оболочки // Прочность цилиндрических оболочек. М: Оборонгиз, 1959. С. 131–145.
8. Канн С.С. Устойчивость оболочек вращения с криволинейными образующими при осевом сжатии // Прикл. механика. 1966. Т. 2. № 1. С. 59–68.
9. Стретт М.Д. Функции Ляме, Матье и родственные им в физике и технике. Харьков; Киев: ДНТВУ, 1935. 237 с.
10. Болотин В.В. Динамическая устойчивость упругих систем. М: Гостехиздат, 1956. 600 с.

Тбилиси

Поступила в редакцию  
13.03.2003